

## ТЕМПЕРАТУРА ЗАЙМАННЯ ВУГІЛЛЯ. ЗВ'ЯЗОК З ПОКАЗНИКАМИ СКЛАДУ, БУДОВИ ТА ЯКОСТІ

© \*Д.В. Мірошниченко<sup>1</sup>, В.М. Назаров<sup>2</sup>,

Національний технічний університет «Харківський політехнічний інститут», 61002, м. Харків, вул. Кирпичова, 2, Україна

Ю.С. Кафтан<sup>3</sup>, Н.А. Десна<sup>4</sup>

Державне підприємство «Український державний науково-дослідний углехімічний інститут (УХН)», 61023, м. Харків, вул. Весніна, 7, Україна

Ю.В. Ніколайчук<sup>5</sup>

Державний вищий навчальний заклад «Донбаський державний педагогічний університет», 84166, м. Слов'янськ Донецької обл., вул. Генерала Батюка, 19, Україна

<sup>1</sup>Мірошниченко Денис Вікторович, доктор техн. наук, с.н.с., завідувач кафедри технологій переробки нафти, газу та твердого палива, e-mail: [dymir79@gmail.com](mailto:dymir79@gmail.com)

<sup>2</sup>Назаров Валерій Миколайович, канд. техн. наук, проф. кафедри технологій переробки нафти, газу та твердого палива, e-mail: [PIREN66@yandex.ru](mailto:PIREN66@yandex.ru)

<sup>3</sup>Кафтан Юрій Степанович, канд. техн. наук, с.н.с., провідний наук. співр. ВВ, e-mail: [yo@ukhin.org.ua](mailto:yo@ukhin.org.ua)

<sup>4</sup>Десна Наталя Анатоліївна, канд. техн. наук, ст. наук. співр. заступник завідувача югільним відділом (ВВ), e-mail: [desnana@ukr.net](mailto:desnana@ukr.net)

<sup>5</sup>Ніколайчук Юрій Володимирович, старший викладач кафедри загальнотехнічних дисциплін, промислових технологій та безпеки життедіяльності, e-mail: [nik.yurij@mail.ru](mailto:nik.yurij@mail.ru)

\* Автор для листування

Запропоновано механізм взаємодії реагентів з вугіллям, що використовується при визначенні температур зайнання неокисленого (відновленого), досліджуваного і окисленого вугілля відповідно до ДСТУ 7611:2014 «Вугілля кам'яне. Метод визначення окиснення і ступеня окиснення».

Вперше виконані дослідження з визначення температур зайнання неокисленого вугілля різного типу України, РФ, США, Канади, Австралії, Чехії, Польщі та Індонезії і дана оцінка впливу показників складу, будови і технологічних властивостей цього вугілля на значення температури зайнання. Встановлено тісний взаємозв'язок температури зайнання неокисленого вугілля з емістом у ньому органічного ( $C_{\text{org}}^{\text{af}}$ ) і ароматичного ( $C_{\text{ar}}^{\text{af}}$ ) вуглецю, зі структурним параметром  $\delta$ , що характеризує ступінь ненасичення структури ОМВ, а також із показниками відбиття вітриніту ( $R_0$ ) і виходу летких речовин ( $V^{\text{af}}$ ).

**Ключові слова:** вугілля, температура зайнання неокисленого вугілля, математичні рівняння, технологічні властивості вугілля

\*\*\*\*\*

**Р**озробка і впровадження в систему контролю якості вугілля, що надходить на коксохімічні підприємства України, ДСТУ 7611:2014 «Вугілля кам'яне. Метод визначення окиснення і ступеня окиснення», дозволили додатково охарактеризувати його технологічні властивості за величиною температури зайнання. Суть методу полягає у вимірюванні температур зайнання відробуваного, неокисленого (відновленого) і окисленого вугілля і розрахунку за отриманими даними показників окиснення  $\Delta t$  і ступеня окиснення  $d_0$ .

Оксиснення вугілля ( $\Delta t$ , °C) – різницю між температурою зайнання неокисленого (відновленого) і досліджуваного вугілля – розраховують за формулою:

$$\Delta t = t_{38} - t_3, \quad (1)$$

де  $t_{38}$  – температура зайнання відновленого вугілля, °C;

$t_3$  – температура зайнання дослідженого вугілля, °C.

Ступінь окиснення вугілля ( $d_0$ , %) у відсотках обчислюють за формулою:

$$d_0 = \frac{t_{38}-t_3}{t_{38}-t_{30}} \cdot 100, \quad (2)$$

де  $t_{30}$  – температура зайнання окисленого вугілля, °C.

Для визначення температури зайнання неокисленого (відновленого) вугілля ( $t_{38}$ ) змішують 0,5 г вугілля з 0,25 г нітрату натрію і 0,0125 г бензидину; температури зайнання досліджуваного вугілля ( $t_3$ ) – 0,5 г вугілля з 0,25 г нітрату натрію; температури зайнання окисленого вугілля ( $t_{30}$ ) – 2,0 г вугілля змішують з 1,0 см<sup>3</sup> перекису водню, після чого витримують суміш протягом 24 годин в темному місці до повного висушування. Від отриманої суміші відбирають наважку масою 0,5 г і змішують з 0,25 г нітрату натрію.

Використання нітрату натрію, який змішуються з наважкою вугілля і спільно з ним нагрівається, забезпечує після досягнення певної температури нагріву суміші бурхливу реакцію окиснення зразка вугілля, що супроводжується появою полум'я. Температура, при котрій відбувається зайнання, приймається за температуру зайнання досліджуваного вугілля.

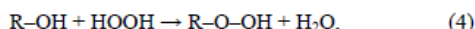
Відомо, що при нагріванні кам'яного вугілля без доступу повітря відбуваються складні термодеструктивні процеси, характер яких залежить як від складу і будови органічної маси вугілля, так і від умов нагрівання. У початковій стадії нагрівання вугілля (до температури 350–400 °C) в більшій мірі протікають процеси розпаду його органічної маси, що супроводжуються утворенням води, різних кисневмісних газів, низькомолекулярних вуглеводнів [1]. Використання нітрату натрію як окиснювача вугілля в даному методі засновано на його здатності плавитися при температурі 271 °C і при подальшому нагріванні розкладатися за наступною схемою [2, 3]:



На нашу думку, поява в суміші з вугіллям реакційноздатних вільних радикалів  $\cdot\text{NO}$  і  $\cdot\text{NO}_2$  (продуктів розкладу нітрату натрію) викликає розвиток процесів окиснення продуктів термічної деструкції вугілля, що протікають за

ланцюговим вільнорадикальним механізмом [1, 4]. Первінними продуктами окиснення речовин вугілля є перекиси, при розпаді котрих утворюються нові вільні радикали, внаслідок чого звичайна термічна деструкція вугілля в присутності нітрату натрію переростає в термоокиснювальну деструкцію [4, 5]. Процес стає автокаталітичним. Розвиваються численні екзотермічні реакції розкладу пероксидів і взаємодії радикалів, що призводять до виділення значної кількості тепла. Зразок вугілля швидко розігрівається, відбувається його займання. Температура займання вугілля окремих марок різна, а також залежить від ступеня його окиснення.

Для прискореного окиснення вугілля в лабораторії найчастіше використовують перекис водню або азотну кислоту. Доведено, що на першому етапі в результаті впливу зазначених окиснювачів на поверхні вугілля формуються функціональні групи: карбоксильні і гідроксильні (фенольні та спиртові) [6, 7]. Більш тривала дія окиснювачів призводить до другого етапу окиснення, при якому гідроксильні групи речовин вугілля утворюють з окиснювачем гідропероксид. Такі реакції за участю 30 % -вого перекису водню протікають за схемою:



де R – вуглецеві речовини вугілля.

Гідроксиди, як відомо, дуже нестійкі. При нагріванні, а також у присутності вільних радикалів вони легко розкладаються. Розкладання зазвичай починається гемолітичним розривом зв'язку O–O, який є найменшим міжнім в молекулах гідропероксидів. Енергія зв'язку складає 143 кДж/моль [8]:



Можна припустити, що бурхливе розкладання гідроксидів окисненого вугілля починається під впливом внесеного в нього нітрату натрію (точніше – продуктів його розкладання). Це викликає ланцюгові реакції окиснення продуктів деструкції вугілля, що призводять до самозаймання зразка вугілля. Температура займання такого попередньо окисненого перекисом водню вугілля, як правило, найнижча.

Згідно з довідковими даними, бензидин (4,4'-діамінодіフェніл,  $C_{12}H_{12}N_2$ ) представляє собою білу або злегка жовтувату кристалічну речовину, яка темніє на світлі і повітрі, важкорозчинна у воді і легко – в спирті й ефірі. Молекулярна маса бензидину – 184,24 г/моль, температура плавлення 122–125 °C. За своїми хімічними властивостями бензидин є типовим ароматичним аміном [9].

Добавка бензидину, відомого своїми відновними властивостями, в дослідах визначення ступеня окиснення вугілля зводиться до нейтралізації дії надлишку вільних радикалів в реакційній суміші, що в кінцевому підсумку дозволяє отримувати значення температур займання, наблизжені до свіжого неокисненого вугілля.

Нагадаємо, температура займання (самозаймання) – найменша температура, при якій відбувається різке збільшення швидкості екзотермічних об'ємних реакцій, що призводить до виникнення полум'яного горіння і/або вибуху. Ця температура потрібна для досягнення енергії активації реакції горіння [10].

В роботі [11] показано, що найважливішим фактором, який впливає на температуру займання неокисненого вугілля, є ступінь його метаморфізму. Діапазон значень температур займання ( $t_{3\%}$ ) неокисненого коксівного вугілля згідно роботи [11] наведено в табл. 1.

Таблиця 1

**Температура займання неокисненого вугілля**

| Марка | Температура займання неокисненого вугілля, $t_{3\%}$ , °C |
|-------|---|
| Г     | 320–340   |
| Ж     | 350–360   |
| К     | 365–370   |
| ПС    | 375–380   |

Слід зазначити, що запропонований автором [11] діапазон зміни температур займання неокисненого вугілля має незаповнені інтервали за температурною шкалою. Значення температур займання від 340 до 350, від 360 до 365, від 370 до 375 °C не відповідають жодній марці вугілля, що, на нашу думку, може бути викликано недостатньою кількістю досліджених проб вугілля. Крім того, немає відомостей про показники якості марок вугілля у використаній автором класифікації. Наприклад, невідомо, в якому діапазоні показників від-

биття вітриніту, виходу летких речовин або товщини пластичного шару перебувало досліджене вугілля кожної конкретної марки.

З урахуванням зазначеного, а також широкомасштабного впровадження методу визначення окиснення в схему контролю якості вугілля на коксохімічних виробництвах України, були вивчені фактори, що впливають на температуру займання неокисненого вугілля ( $t_{3\%}$ ) на основі дослідження широкого кола вугілля різних типів.

Були досліджені 170 проб вугілля різних типів, в тому числі: 50 проб вугілля України; 78 – РФ і 42 – далекого зарубіжжя (США, Канада, Австралія, Чехія, Польща, Індонезія).

Таблиця 2

## Технологічні властивості досліджених проб вугілля

| Значення    | Дані технічного аналізу, % |                |                             |                  | Температура зайнання неокисленого вугілля, °C |
|-------------|----------------------------|----------------|-----------------------------|------------------|---|
|             | W <sup>a</sup>             | A <sup>d</sup> | S <sup>d</sup> <sub>t</sub> | V <sup>daf</sup> |   |
| Максимальне | 3,8                        | 12,4           | 3,26                        | 43,4             | 418   |
| Мінімальне  | 0,2                        | 3,7            | 0,13                        | 16,7             | 341   |
| Середнє     | 1,4                        | 8,4            | 0,83                        | 30,0             | 384   |

Таблиця 3

## Петрографічна характеристика досліджених проб вугілля

| Значення    | Середній показник відбиття вітриніті, % | Петрографічний склад (без урахування мінеральних домішок), % |    |    |    |   |     |
|-------------|---|--|----|----|----|---|-----|
|             |   | R <sub>0</sub>   | Vt | Sv | I  | L | ΣOK |
| Максимальне | 1,60                                    | 99   | 4  | 77 | 10 | 1 | 79  |
| Мінімальне  | 0,53                                    | 20   | 0  | 1  | 0  | 0 | 1   |
| Середнє     | 1,04                                    | 71   | 1  | 26 | 2  | 2 | 27  |

Таблиця 4

## Елементний склад і структурні параметри досліджених проб вугілля

| Значення    | Елементний склад, % |                  |                  |                             |                               | Структурні параметри |                     |
|-------------|---------------------|------------------|------------------|-----------------------------|-------------------------------|----------------------|---------------------|
|             | C <sup>daf</sup>    | H <sup>daf</sup> | N <sup>daf</sup> | S <sup>d</sup> <sub>t</sub> | O <sub>d</sub> <sup>daf</sup> | δ                    | C <sub>ap</sub> , % |
| Максимальне | 91,19               | 6,42             | 2,99             | 3,26                        | 10,75                         | 10,42                | 35,19               |
| Мінімальне  | 80,79               | 4,64             | 0,85             | 0,13                        | 1,31                          | 7,62                 | 14,30               |
| Середнє     | 86,81               | 5,43             | 1,95             | 0,83                        | 4,96                          | 9,18                 | 23,03               |

У табл. 2–4 наведені максимальні, мінімальні та середні значення показників технологічних властивостей, петрографічних характеристик, елементного складу та структурних параметрів досліджених проб вугілля.

Розрахунок структурних параметрів проводився за формулами, які використовувалися в роботах [12–14].

Для дослідженій вибірки розраховували коефіцієнти парної кореляції між показниками властивостей вугілля і величиною температури зайнання, t<sub>zB</sub> (табл. 5).

Таблиця 5

## Коефіцієнти парної кореляції та значення |r|√n - 1 досліджених зв'язків

| Показник | V <sup>daf</sup> | Vt     | ΣOK   | R <sub>0</sub> | C <sup>daf</sup> | H <sup>daf</sup> | O <sub>d</sub> <sup>daf</sup> | δ     | C <sub>ap</sub> |
|----------|------------------|--------|-------|----------------|------------------|------------------|-------------------------------|-------|-----------------|
| r        | -0,915           | -0,389 | 0,410 | 0,917          | 0,914            | -0,637           | -0,113                        | 0,880 | 0,910           |
| r √n - 1 | 10,763           | 3,827  | 4,051 | 7,878          | 10,901           | 6,106            | 1,218                         | 9,949 | 7,974           |

Значимість коефіцієнтів кореляції r перевіряли шляхом порівняння абсолютної величини добутку |r|√n - 1 з його критичним значенням (H) при заданій надійності виведення (P) [15]. Критичне значення H при ймовірності P = 0,999 для 170 проб становить 3,291.

У табл. 5 показані значення коефіцієнтів кореляції r і значення добутку |r|√n - 1 для кожного досліджуваного взаємозв'язку.

Як видно з наведених у табл. 5 даних, найбільші значення коефіцієнтів кореляції (r = 0,88–0,915) встановлені між температурою зайнання і показниками C<sup>daf</sup>, C<sub>ap</sub>, δ, R<sub>0</sub>, V<sup>daf</sup>, що характеризують склад, будову і технологічні властивості ОМВ. Для зазначених взаємозв'язків характерні також максимальні значення добутку |r|√n - 1, що свідчить про їх високу надійність.



На рис. 1–5 наведено графічні залежності температури зайнання  $t_{3B}$  від основних показників якості вугілля.

вугіллі вмісту загального ( $C^{daf}$ ) і ароматичного ( $C_{ar}$ ) вуглецю, а також від ступеню ненасичення ( $\delta$ ) його структури.

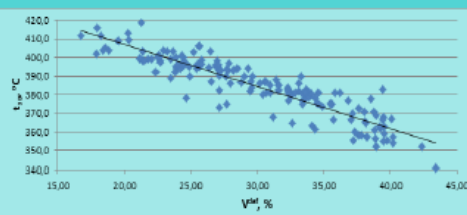


Рис. 1 Залежність  $t_{3B}$  від  $V^{daf}$

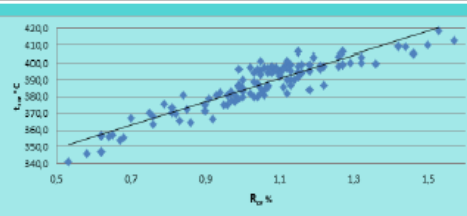


Рис. 2 Залежність  $t_{3B}$  від  $R_0$

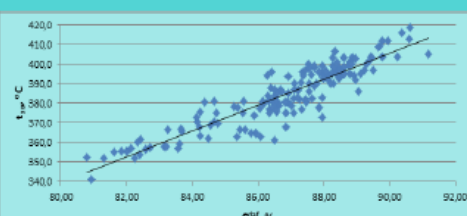


Рис. 3 Залежність  $t_{3B}$  від  $C^{daf}$

Аналізуючи графічні залежності, наведені на рис. 1–5, можна констатувати, що вони носять характер, наближений до лінійного.

У табл. 6 наведені математичні рівняння (6–10) і статистична оцінка залежностей температури зайнання від дослідженіх показників властивостей вугілля. Аналіз отриманих рівнянь та їх статистичної оцінки показує, що вивчені взаємозв'язки характеризуються високими коефіцієнтами кореляції (0,88–0,92) і детермінації (77,4–84,6 %).

Виходячи зі значень показників, з якими корелює величина  $t_{3B}$ , можна зробити висновок, що остання є параметром, що залежить від вмісту вуглецю і ступеня впорядкованості структури органічної маси неокисленого вугілля. Підвищення її абсолютної величини пов'язано зі зростанням у

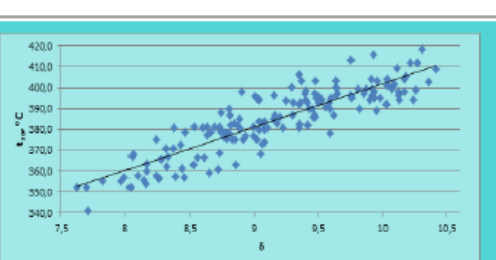


Рис. 4 Залежність  $t_{3B}$  від  $\delta$

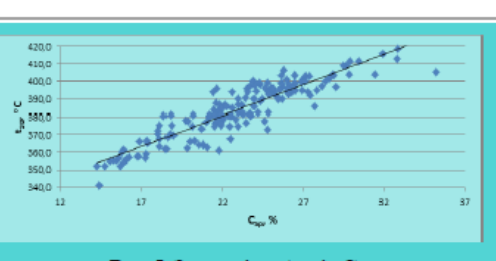


Рис. 5 Залежність  $t_{3B}$  від  $C_{ar}$

Значення температури зайнання також зростає з ростом величини показника відбиття вітриниту і зі зниженням виходу летких речовин вугілля. Слід зазначити, що обидва ці показники також відображають структурні особливості ОМВ. Так, показник відбиття вітриниту пов'язаний з наявністю тієї чи іншої кількості циклічно полімеризованого вуглецю в ОМВ. Вихід летких речовин відображає термостійкість ОМВ, що залежить від кількості аліфатичних і ароматичних складових макромолекул ОМВ.

За отриманими рівняннями (6) і (7) були розраховані значення температур зайнання марок і груп коксівного вугілля в рамках введеного в Україні ДСТУ 3472:2015 «Вугілля буре та антрацит. Класифікація». У табл. 7 наведені розрахункові значення температур зайнання, а також їх інтервали для марок та груп коксівного вугілля.

На відміну від наведеної раніше (табл. 1) градації температури зайнання неокисленого коксівного вугілля в залежності від його марочної приналежності, в табл. 7, по-перше, наведені значення показників якості ( $R_0$  і  $V^{daf}$ ) для кожної марки або групи, а, по-друге, ліквідовані «прогалини» в значеннях температур зайнання неокисленого вугілля між марками у всьому температурному діапазоні.

Таблиця 6

## Математичні рівняння та їх статистична оцінка

| № рівняння | Вид рівняння                                     | Статистична оцінка* |      |
|------------|--|---------------------|------|
|            |  | г                   | D, % |
| (6)        | $t_{3B} = -2,2691 \cdot V^{\text{daf}} + 452,59$ | 0,91                | 82,8 |
| (7)        | $t_{3B} = 69,31 \cdot R_0 + 314,47$              | 0,92                | 84,6 |
| (8)        | $t_{3B} = 6,6134 \cdot C^{\text{daf}} - 189,63$  | 0,91                | 82,8 |
| (9)        | $t_{3B} = 20,673 \cdot \delta + 195,16$          | 0,88                | 77,4 |
| (10)       | $t_{3B} = 3,4929 \cdot C_{\text{ap}} + 304,04$   | 0,91                | 82,8 |

\* г – коефіцієнт множинної кореляції; D – коефіцієнт детермінації

Таблиця 7

## Значення температур зайнання марок і груп коксівного вугілля згідно до ДСТУ 3472:2015

| Марка вугілля          | Позначення |       | Показник відбиття вітриніту, $R_o$ , % | Вихід летких речовин, $V^{\text{daf}}$ , % | Температура зайнання, $t_{3B}$ , °C |                  |                     |
|------------------------|------------|-------|--|--|-------------------------------------|------------------|---------------------|
|                        | марка      | група |  |  | за рівнянням (7)                    | за рівнянням (6) | об'єднаний інтервал |
| Газове                 | Г          | Г1    | 0,60–0,69                              | 38–44                                      | 356–362                             | 353–366          | 353–366             |
|                        |            | Г2    | 0,70–0,79                              | 36–42                                      | 363–369                             | 357–371          | 357–371             |
| Газове жирне піснувате | ГЖП        |       | 0,80–0,89                              | 33–39                                      | 370–376                             | 364–378          | 364–378             |
| Газове жирне           | ГЖ         |       | 0,80–0,89                              | 33–38                                      | 370–376                             | 366–378          | 366–378             |
| Жирне                  | Ж          |       | 0,90–1,19                              | 28–36                                      | 377–397                             | 371–389          | 371–397             |
| Коксівне               | К          | K1    | 1,04–1,19                              | 28–30                                      | 387–397                             | 385–389          | 385–397             |
|                        |            | K2    | 1,20–1,49                              | 18–28                                      | 398–418                             | 389–412          | 389–418             |
| Піснувате спікливе     | ПС         |       | 1,50–1,69                              | 14–22                                      | 418–432                             | 403–421          | 403–432             |

На підставі проведених досліджень можна зробити наступні висновки:

груп в рамках ДСТУ 3472:2015 «Вугілля буре та антрацит. Класифікація».

## Бібліографічний список

- Нестеренко Л.Л. Основы химии и физики горючих ископаемых / Л.Л. Нестеренко, Ю.В. Бирюков, В.А. Лебедев. – Киев: Вища школа, 1987. – 360 с.
- Карякин Ю.В. Чистые химические реактивы Ю.В. Карякин. – Москва-Ленинград: ГИИТН, 1947. – 574 с.
- Ахметов Н.С. Неорганическая химия / Н.С. Ахметов. – Казань: Казанский гос. университет, 1967. – 656 с.
- Камнева А.Н. Теоретические основы химической технологии горючих ископаемых / А.Н. Камнева, В.В. Платонов. – Москва: Химия, 1990. – 288 с.
- Яворский Н.А. Физико-химические основы горения твердых ископаемых топлив и графитов / Н.А. Яворский. – Новосибирск: Наука. Сибирское отделение, 1973. – 254 с.
- Спрацко Б.К. Получение окисленного угля и исследование его ионообменных свойств / Б.К. Спрацко, Н.А. Кузин. / Синтез и свойства ионообменных материалов [сб.]. – Москва: Наука, 1968. – С. 303–309.

7. Кузин Н.А. Получение, исследование свойств и применение окисленных углей / Н.А. Кузин // Адсорбция и адсорбенты. – 1974. – № 2. – С. 10-14.
8. Нейланд О.Я. Органическая химия / О.Я. Нейланд. – Москва: Высшая школа, 1990. – 752 с.
9. Кнунянц И.Л. / Химическая энциклопедия. Т.1 / И.Л. Кнунянц – Москва: Советская энциклопедия, 1988. – 623 с.
10. Корольченко А.Я. Пожаровзрывоопасность веществ и материалов и средства их тушения. Ч.1. / А.Я. Корольченко, Д.А. Корольченко. – М: Асс. Пожнаука, 2004. – 713 с.
11. Веселовский В.С. Химическая природа горючих исключаемых. – Москва: Издательство АН СССР. 1955. – 424 с.
12. Головко М.Б. Использование данных элементного и петрографического анализов углей для прогнозирования выхода химических продуктов коксования / М.Б. Головко, И.Д. Дроздник, Д.В. Мирошниченко, Ю.С. Кафтан // Кокс и химия. – 2012. – № 6. – С. 9-18.
13. Мирошниченко Д.В. Прогноз выхода химических продуктов коксования по данным элементного и петрографического анализа угля / Д.В. Мирошниченко, М.Б. Головко // Кокс и химия. – 2014. – №3. – С. 32-43.
14. Мирошниченко Д.В. Элементный состав каменных углей и антрацитов как основа моделирования их свойств / Д.В. Мирошниченко, М.Л. Улановский // Кокс и химия. – 2003. – №. 4. – С. 3-7.
15. Руминский Л.З. Математическая обработка результатов эксперимента [Справочное пособие]. – Москва: Наука, 1971. – 192 с.

Рукопис надійшов до редакції 05.08.2017

#### THE IGNITION TEMPERATURE OF COAL. INTERRELATION WITH PARAMETERS OF THE COMPOSITION, STRUCTURE AND PROPERTIES

© D.V. Miroshnichenko, Doctor of Technical Sciences, V.N. Nazarov, PhD in technical sciences (NTU "KhPI"), Yu.S. Kaftan, PhD in technical sciences, N.A. Desna, PhD in technical sciences (SE "UKHIN"), Y.V. Nicolaiuk (SHEI "DDPU")

*The mechanism of reagents interaction with coal has been proposed used to determine the ignition temperature of non-oxidized (reduced), researched and oxidized coal according to DSTU 7611:2014 "Coal. Method for determination of oxidation and the degree of oxidation".*

*The researches has been fulfilled for the determination of the ignition temperature of different types of non-oxidized coals from Ukraine, Russia, USA, Canada, Australia, the Czech Republic, Poland and Indonesia. The impact assessment of composition, structure and properties of this coal on the ignition temperature value has been given.*

*The precise interrelation has been specified of the ignition temperature of non-oxidized coal with content of organic ( $C_{\text{org}}$ ) and aromatic ( $C_{\text{ar}}$ ) carbon, structural parameter  $\delta$  (it characterize the degree of unsaturation of organic matter of coal structure) as well as vitrinite reflectance ( $R_o$ ) and the yield of volatile matters ( $V^{\text{dif}}$ ).*

Keywords: non-oxidized coal, the ignition temperature, mathematic equation, properties.

#### ТЕМПЕРАТУРА ВОГОРАНИЯ УГЛЯ. СВЯЗЬ С ПОКАЗАТЕЛЯМИ СОСТАВА, СТРОЕНИЯ И СВОЙСТВ

© Д.В. Мирошниченко, д.т.н., В.Н. Назаров, к.т.н. (НТУ «ХПІ»), Ю.С. Кафтан, к.т.н., Н.А. Десна, к.т.н. (ГП «УХІН»), Ю.В. Ніколайчук (ГВУЗ «ДДПУ»)

Предложен механизм взаимодействия реагентов с углем, который используется при определении температур возгорания неокисленных (восстановленных), исследуемых и окисленных углей в соответствии с DSTU 7611: 2014 «Уголь каменный. Метод определения окисления и степени окисления».

Впервые выполнены исследования по определению температур возгорания неокисленных углей различного типа Украины, РФ, США, Канады, Австралии, Чехии, Польши и Индонезии и дана оценка влияния показателей состава, строения и технологических свойств углей на величину температуры воспламенения. Установлена тесная взаимосвязь температуры возгорания неокисленных углей с содержанием органического ( $C_{\text{org}}$ ) и ароматического ( $C_{\text{ar}}$ ) углерода, структурным параметром  $\delta$  (характеризует степень ненасыщенности структуры ОМУ), а также с показателями отражения витринита ( $R_o$ ) и выхода летучих веществ ( $V^{\text{dif}}$ ).

Ключевые слова: неокисленный уголь, температура возгорания, математическое уравнение, свойства.